

TG780-3, Bild C1We: Element A: Radialgitter N-W, W-N, N-Z und W-Z; PS-Operator: *rgb/cmy0*

L^*/Y_{Eingabe} (absolut)	18.0/2.5	37.3/9.7	56.7/24.6	76.1/49.9	95.4/88.6	$N_0(\min.)$	$W_I(\max.)$
$w^*=I^*_{CIELAB, r}$ (relativ)							
w^*_{Eingabe}	0,000	0,250	0,500	0,750	1,000	$N_0(\min.)$	$W_I(\max.)$

TG780-5, Bild C2We: Element B: 5 visuell gleichabständige L^* -Graustufen + N_0 + W_I ; PS-Operator: *rgb/cmy0*

L^*/Y_{Eingabe} (absolut)	18.0/2.5	23.2/3.8	28.3/5.6	33.5/7.8	38.6/10.5	43.8/13.7	49.0/17.6	54.1/22.1	59.3/27.3	64.4/33.3	69.6/40.2	74.8/47.9	79.9/56.5	85.1/66.2	90.2/76.8	95.4/88.6
Nr. und Hex-Code	00;F	01;E	02;D	03;C	04;B	05;A	06;9	07;8	08;7	09;6	10;5	11;4	12;3	13;2	14;1	15;0
$w^*=I^*_{CIELAB, r}$ (relativ)																
w^*_{Eingabe}	0,000	0,067	0,133	0,200	0,267	0,333	0,400	0,467	0,533	0,600	0,667	0,733	0,800	0,867	0,933	1,000

TG780-7, Bild C3We: Element C: 16 visuell gleichabständige L^* -Graustufen; PS-Operator: *rgb/cmy0*

Umfeldstufe Hex-Code	0	7	E	2	8	F
Ringstufe Hex-Code	1	8	F	0	6	D
	0-1	7-8	E-F	2-0	8-6	F-D

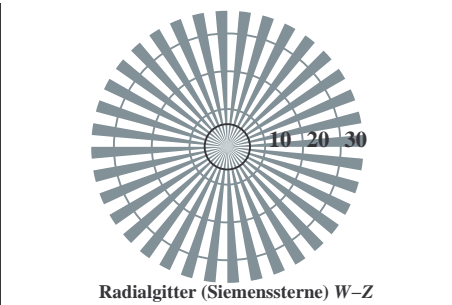
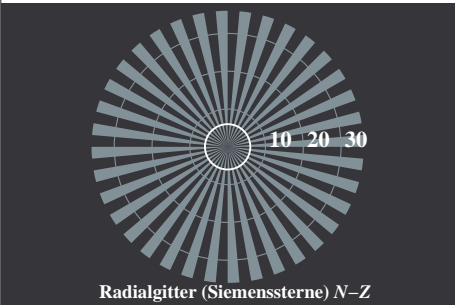
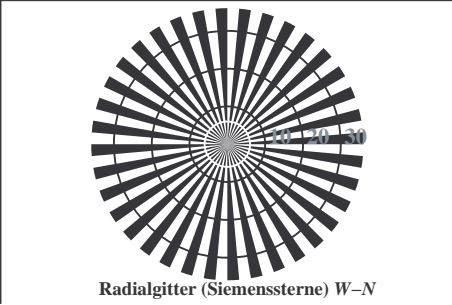
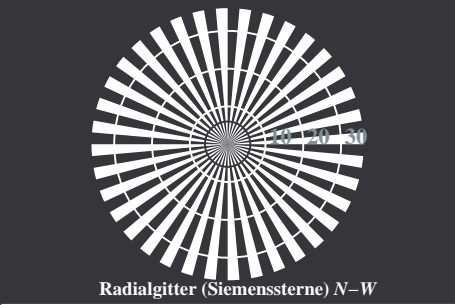
TG781-1, Bild C4We: Element D: Landoltringe W-N; PS-Operator: *rgb/cmy0*

	120	128	136	144	152	160	168	176	184	192	200	208	216	224	232	240	
120 (+8)																	240
60 (+4)																	120
30 (+2)																	60
15 (+1)																	30
	15	16	17	18	19	20	21	22	23	24	25	26	27	28	29	30	
Rasterweite in lpi																	

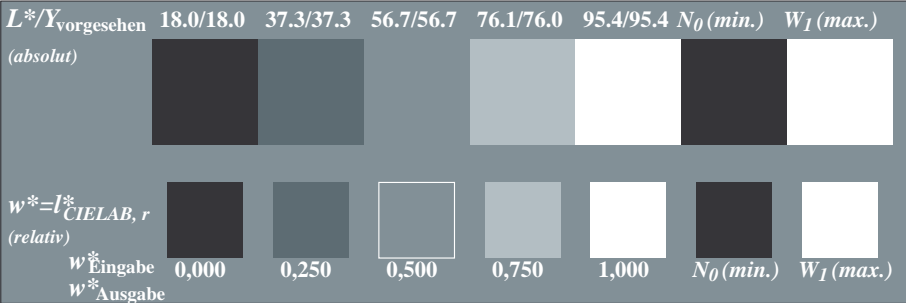
TG781-3, Bild C5We: Element E: Linienraster unter 45° (oder 135°); PS-Operator: *rgb/cmy0*

	120	128	136	144	152	160	168	176	184	192	200	208	216	224	232	240															
120 (+8)																	240														
60 (+4)																															120
30 (+2)																															60
15 (+1)																															30
	15	16	17	18	19	20	21	22	23	24	25	26	27	28	29	30															
Rasterweite in lpi																															

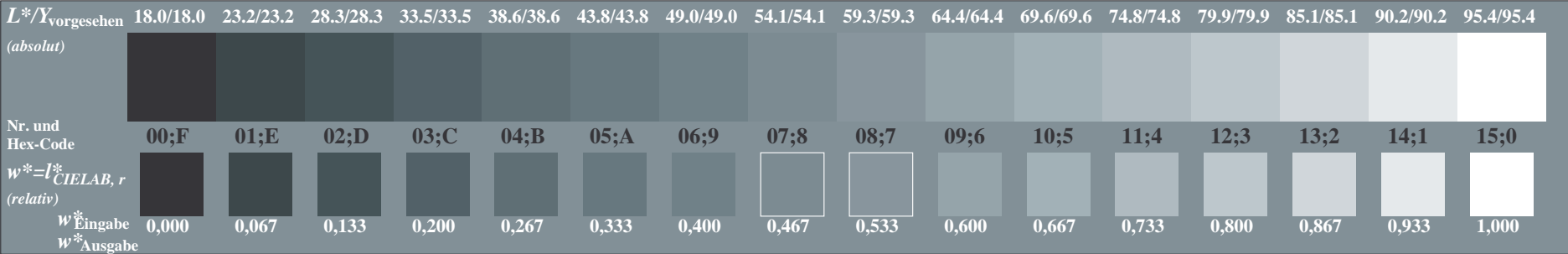
TG781-5, Bild C6We: Element F: Linienraster unter 90° (oder 0°); PS-Operator: *rgb/cmy0*



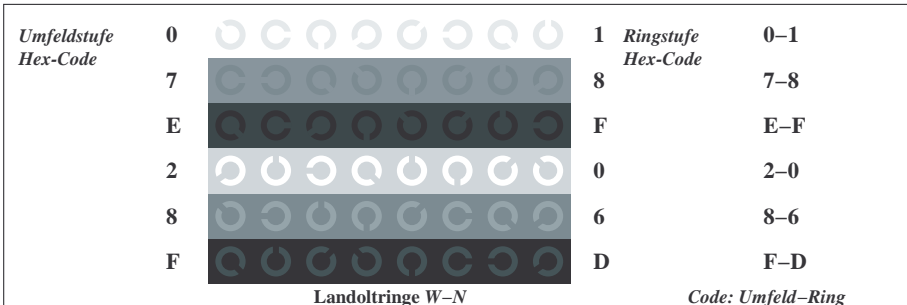
TG780-3, Bild C1Wdd: Element A: Radialgitter N-W, W-N, N-Z und W-Z; PS-Operator: *rgb/cmy0*



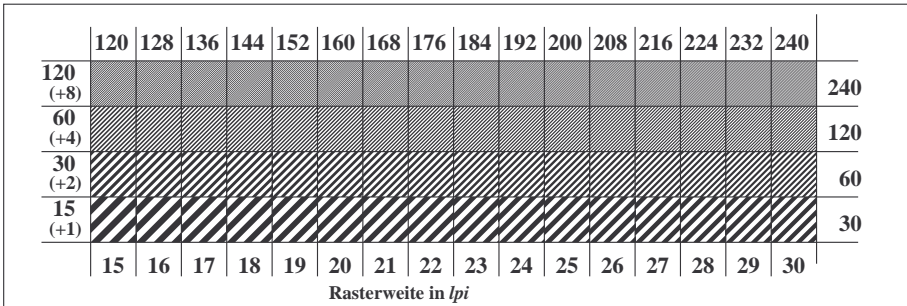
TG780-5, Bild C2Wdd: Element B: 5 visuell gleichabständige L^* -Graustufen + N_0 + W_I ; PS-Operator: *rgb/cmy0*



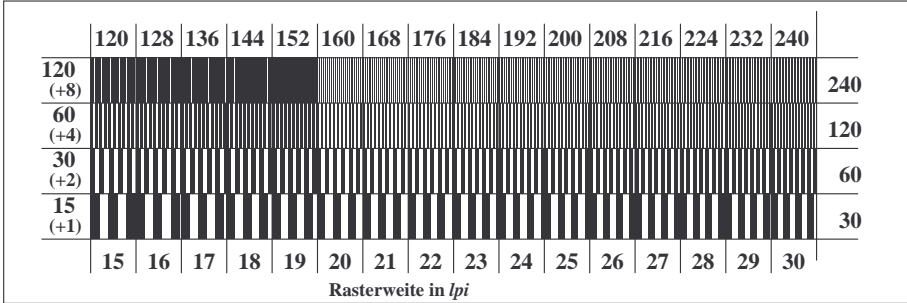
TG780-7, Bild C3Wdd: Element C: 16 visuell gleichabständige L^* -Graustufen; PS-Operator: *rgb/cmy0*



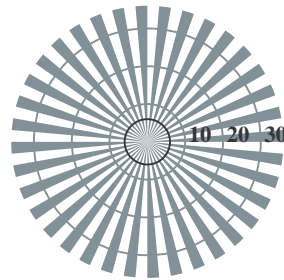
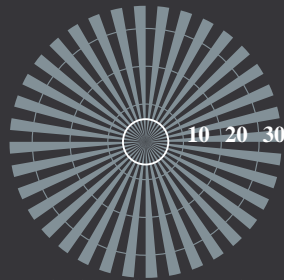
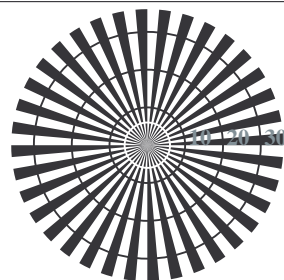
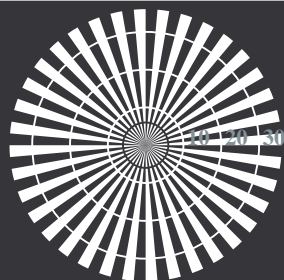
TG781-1, Bild C4Wdd: Element D: Landoltringe W-N; PS-Operator: *rgb/cmy0*



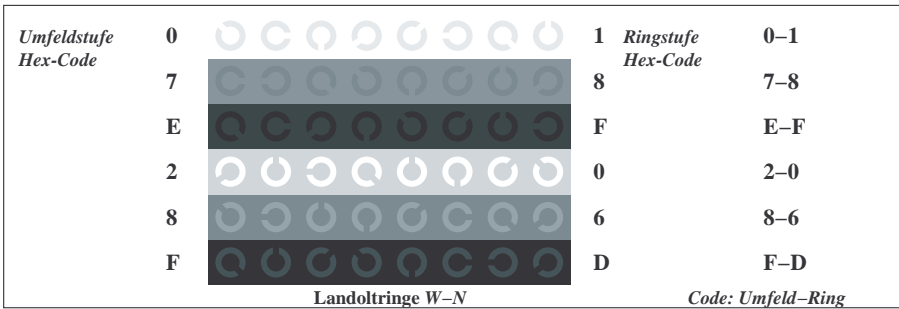
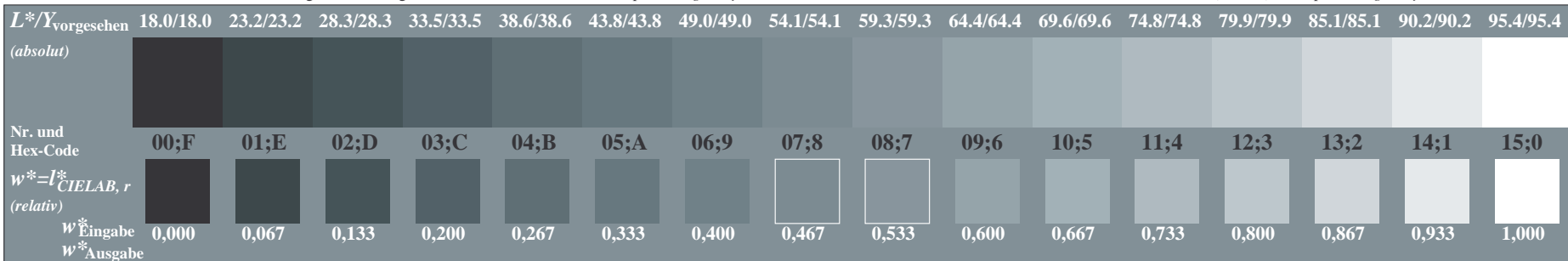
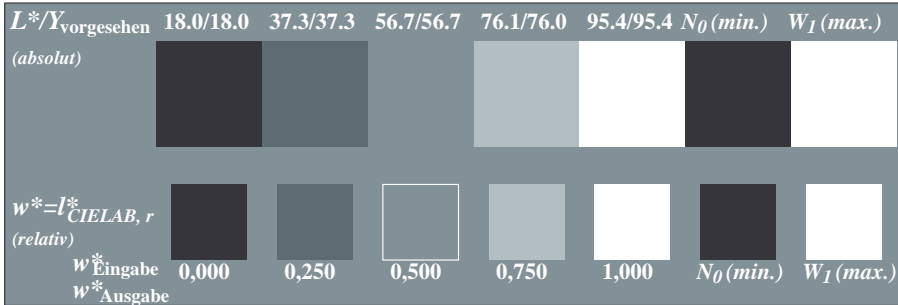
TG781-3, Bild C5Wdd: Element E: Linienraster unter 45° (oder 135°); PS-Operator: *rgb/cmy0*



TG781-5, Bild C6Wdd: Element F: Linienraster unter 90° (oder 0°); PS-Operator: *rgb/cmy0*



TG780-3, Bild C1Wde: Element A: Radialgitter $N-W$, $W-N$, $N-Z$ und $W-Z$; PS-Operator: $rgb/cmy0$



TG781-1, Bild C4Wde: Element D: Landoltringe W-N; PS-Operator: rgb/cmy0

